

# Medida do Índice de Refração Não-Linear do Cristal de $BaLiF:Ni$ em $1,064 \mu m$ por meio da Técnica de Z-Scan para Absorvedores Lentos

R. E. Samad\*, N. D. Vieira Jr. e S. L. Baldochi  
Instituto de Pesquisas Energéticas e Nucleares - CNEN/SP  
Caixa Postal 11049 - Pinheiros - 05422-970 - São Paulo - Brasil  
S. C. Zilio

Instituto de Física de São Carlos, Universidade de São Paulo  
Caixa Postal 369, 13560-970 - São Carlos - Brasil

## Introdução

Quando tratamos com materiais candidatos a meio laser, ou elementos intracavidade, não é suficiente o conhecimento de apenas seus parâmetros lineares<sup>[1]</sup> (índice de refração, absorção, etc) sendo necessário saber seus parâmetros não-lineares<sup>[2]</sup>, pois o material em questão encontra-se sujeito a altas intensidades de campo eletromagnético quando em operação intracavidade<sup>[3]</sup>.

Ao estudarmos a reação da matéria a altas intensidades de campos eletromagnéticos, podemos adotar um formalismo no qual a incidência do campo polariza o meio, e essa polarização determina a reação do meio. Neste formalismo, para materiais não magnéticos, a polarização é descrita numa expansão em série de Taylor em potências do campo elétrico incidente, sendo o coeficiente de  $n$ -ésima potência de campo denominado susceptibilidade<sup>[2]</sup> de ordem  $n$ ,  $\chi^{(n)}$ , e o índice de refração total do meio fica sendo escrito numa série de potências da intensidade do campo incidente, onde a  $n$ -ésima potência da intensidade corresponde à susceptibilidade de ordem  $(2n+1)$ , ou seja, as susceptibilidades de ordem par não afetam, em média, a velocidade de propagação da luz no meio (para meios com simetria de inversão<sup>[4]</sup> as susceptibilidades de ordens pares são nulas).

A técnica do Z-Scan<sup>[5]</sup> utiliza esta alteração do índice de refração total para realizar uma medida das susceptibilidades de ordem ímpar do material de interesse. Como a relação entre as diversas susceptibilidades segue  $\chi^{(n+1)}/\chi^{(n)} \approx 10^{-3}$ , neste trabalho trataremos apenas da susceptibilidade não-linear de terceira ordem,  $\chi^{(3)}$ . A alteração do índice de refração é  $\Delta n = \gamma I$ , onde  $\gamma$  denomina-se coeficiente não linear. A relação entre os sistemas cgs e MKS é dada por  $\chi^{(3)}(\text{cgs}) = (3n_0/4\pi)10^3 \gamma (\text{cm}^2 \text{W}^{-1})$ , onde  $n_0$  é o índice de refração linear no comprimento de onda estudado.

A teoria de Z-Scan baseia-se na excursão da amostra não-linear ao longo do eixo de um feixe laser no modo  $TEM_{00}$ <sup>[6]</sup>, e na variação de seu índice de refração total,  $n = n_0 + \gamma I$ . Um esquema da montagem originalmente proposta<sup>[5]</sup> pode ser visualizado na figura 1, onde  $D1$  e  $D2$  são detectores e o feixe laser encontra-se no modo  $TEM_{00}$ .

Com a amostra sobre o feixe, seu índice de refração total assume um perfil gaussiano, proporcional ao perfil de intensidade do modo, de modo que em termos de caminho óptico a amostra passa a assemelhar-se a uma lente, convergente se  $\gamma$  for positivo, e divergente se  $\gamma$  for negativo. Supondo que  $\chi^{(3)}$  seja positivo, se a amostra encontrar-se antes da posição da cintura do feixe, o "efeito de lente convergente" fará

\* Bolsista de Mestrado FAPESP

com que a potência luminosa que atravessa a íris diminua, aumentando quando a amostra encontra-se após a posição da cintura<sup>[6]</sup> (quanto menor a íris, mais pronunciado é o efeito). Quanto mais próxima da cintura encontrar-se a amostra, mais de sua posição passa a apresentar um vale e um pico; a grandes distâncias da posição da cintura, não é mensurável o efeito não linear, e a transmitância assume um valor constante. O detector *D2* serve para normalizar o sinal de *D1*, que pode flutuar em decorrência da estabilidade do laser, e faz com que a transmitância normalize-se em 1 quando o efeito não-linear é pequeno (longe da cintura).

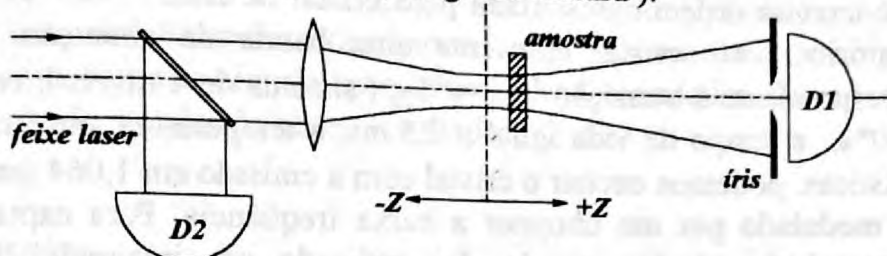


Figura 1 - esquema da montagem experimental de Z-Scan

Ao medirmos a distância entre pico e vale na curva de transmitância normalizada, obtemos  $\Delta Z_{p-v} = 1,7z_0$ , sendo  $z_0$  o parâmetro confocal do feixe, e da diferença de transmitância normalizada entre pico e vale obtemos  $\Delta T_{p-v} = \alpha \Delta \Phi_0$ , onde  $\alpha$  é uma constante que depende da razão entre o diâmetro da íris e o diâmetro do feixe em sua posição, e  $\Delta \Phi_0$  é o deslocamento de fase não-linear, proporcional à susceptibilidade  $\chi^{(3)}$ . É possível medir, com relativa facilidade, deslocamentos de fase de até  $\lambda/100$ .

As dificuldades neste método surgem devido a imperfeições (riscos, ondulações) na superfície da amostra, que podem alterar o caminho óptico de dimensões comparáveis à fase medida, e deve-se levar em conta que se o alinhamento do deslocamento da amostra com o feixe não for bom, o laser estará atingindo a amostra em um ponto diferente de sua superfície a cada posição. Também deve-se considerar que a potência do laser pode variar no tempo, para operação CW, ou em cada pulso, para operação pulsada. No entanto, todos estes efeitos descritos são lineares, e em princípio, não são de interesse.

No entanto, se a amostra estudada for um absorvedor de tempo de relaxação lento no comprimento de onda de interesse, uma variação do método<sup>[7]</sup> pode ser utilizada para aumentar sua sensibilidade. Nesta variante, impõe-se uma modulação com forma de onda quadrada ao feixe, sendo o seu período superior ao tempo de vida do nível absorvedor. Desta forma, a diferença de população que existe entre o estado fundamental e o estado absorvedor, causada pelo bombeamento do feixe laser, atingirá o equilíbrio somente após algumas constantes de tempo do nível superior. Esta diferença de população altera a polarização do meio, originando a não-linearidade. Assim, efetuamos duas medidas do sinal detectado através da íris, uma logo após a abertura do modulador, no tempo  $t_1$ , e outra antes de seu fechamento, em  $t_2$ . A razão dos sinais  $S(t_2)/S(t_1)$  é a amplitude do efeito não-linear, já descontados os efeitos lineares, eliminando também a necessidade do detector *D2*, de normalização. Este tipo de medida é repetido para cada posição da amostra sobre o feixe, e posteriormente é

construída uma curva da razão dos sinais em função da posição, que é a curva da transmitância normalizada de Z-Scan. Esta técnica, ao eliminar os efeitos lineares ponto-a-ponto, permite a eliminação de ruído mais eficientemente que técnicas anteriormente apresentadas, permitindo a observação de variações de fase, entre pontos consecutivos de uma medida, da ordem de  $\lambda/10^4$  em torno de  $500 \text{ nm}^{[7]}$ .

### Resultados Experimentais

Realizamos, até a data de entrega deste trabalho, uma medida da não-linearidade de terceira ordem apresentada pelo cristal de  $\text{BaLiF:Ni}(1\%)$ , crescido em nossos laboratórios. Este cristal apresenta uma banda de absorção centrada em  $1180 \text{ nm}$ , correspondente à transição  ${}^3A_{2g} \rightarrow {}^3T_{2g}$  (sistema de 4 níveis), com eficiência quântica de  $50\%$ , e tempo de vida igual a  $2,5 \text{ ms}$ , à temperatura ambiente. Devido a estas características, podemos excitar o cristal com a emissão em  $1,064 \mu\text{m}$  de um laser de  $\text{Nd:YAG}$ , modulado por um chopper a baixa frequência. Para captar o sinal da evolução temporal da não-linearidade, foi utilizado um integrador Boxcar. Um exemplo do sinal medido pelo Boxcar pode ser visto na figura 2.

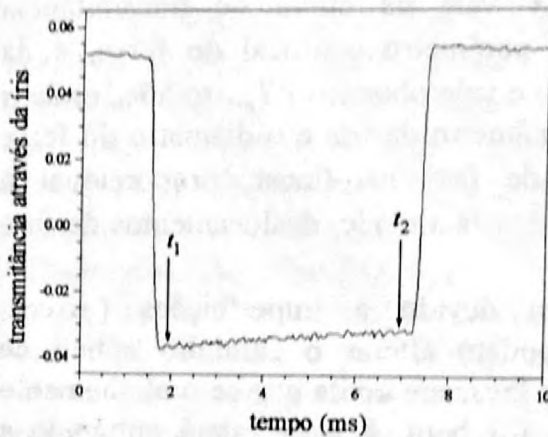


Figura 2 - Sinal lido pelo integrador Boxcar. A razão  $S(t_2)/S(t_1)$  foi calculada nos tempos indicados no gráfico :  $t_1 = 1,95 \text{ ms}$  e  $t_2 = 6,95 \text{ ms}$ . Esta medida foi feita com a amostra entre a posição da cintura e o detector, revelando uma não-linearidade negativa

Foram levantadas curvas similares à da figura 2 para várias posições da amostra sobre o feixe, e para cada uma dessas curvas, sempre foi calculada a razão nos mesmos tempos  $t_1$  e  $t_2$ . A curva de Z-Scan resultante pode ser vista na figura 3.

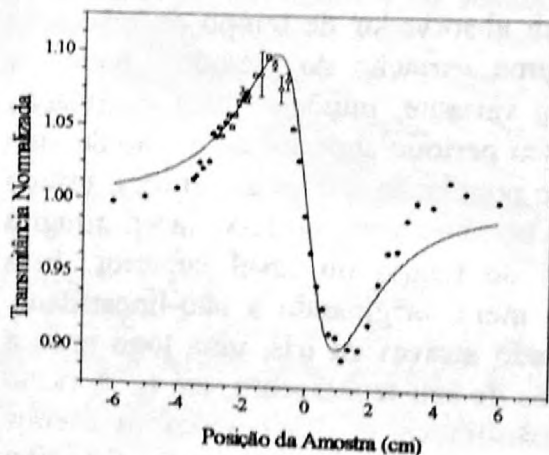


Figura 3 - curva de Z-Scan em  $1,064 \mu\text{m}$  para amostra de  $\text{BaLiF:Ni}(1\%)$  com  $3,7 \text{ mm}$  de espessura, com diâmetro de íris de  $3,2 \text{ mm}$ , e diâmetro do feixe igual a  $7,7 \text{ mm}$  sobre a íris. Sobre a amostra incide uma potência de  $1,15 \text{ W}$  de luz laser. A linha contínua representa o ajuste de função aos pontos, fornecendo um deslocamento de fase  $\Delta\Phi_0 = 0,532$ , e parâmetro confocal  $z_0 = 11,3 \text{ mm}$ , correspondendo a uma cintura de  $62 \mu\text{m}$ .

Os dados da medida indicam uma potência de  $9,58 \text{ kW/cm}^2$  na posição da cintura do feixe. Sabendo ainda que o coeficiente de absorção linear da amostra, neste comprimento de onda, é  $\alpha = 2,5 \text{ cm}^{-1}$ , e seu índice de refração linear é  $n_0 = 1,5$ , determinamos, preliminarmente, que seu coeficiente não-linear é  $\gamma = 3,9 \pm 0,2 \cdot 10^{-6} \text{ cm}^2/\text{kW}$ , ou ainda, sua susceptibilidade não-linear de terceira ordem é  $\chi^{(3)} = 3,3 \pm 0,2 \cdot 10^{-7} \text{ esu}$ .

Sabemos que o efeito não-linear medido é devido aos íons de  $\text{Ni}^{+2}$ , e não às propriedades não-lineares da matriz, pois fluoretos apresentam não-linearidades da ordem de  $10^{-13} \text{ esu}^{[8]}$ , além da absorção linear desses íons já citada. Não dispomos de dados para comparação, porém resultados<sup>[7]</sup> obtidos para íons de  $\text{Cr}^{3+}$ , um metal de transição assim como o níquel, apresentam não-linearidades de ordens de grandeza próximas à obtida, validando nosso resultado.

### Agradecimentos

Agradecemos à FAPESP pelo apoio na forma do projeto 93/4999-7

### Referências

1. di Bartolo, B., "Optical Interactions in Solids", *John Wiley & Sons Inc*, New York, 1968.
2. Shen, R., "The Principles of Nonlinear Optics", *John Wiley & Sons Inc*, New York, 1984.
3. Yariv, A., "Quantum Electronics", *Third Edition, John Wiley & Sons, Inc*, New York, 1989.
4. Ashcroft, N. W. and Mermin, N. D., "Solid State Physics", *W. B. Saunders Company*, Philadelphia, 1976
5. Sheik-Bahae, M., Said, A. A., Wei, T., Hagan, D. J. and Van Stryland, E. W., "Sensitive Measurement of Optical Nonlinearities Using a Single Beam", *IEEE Journal of Quantum Electronics*, 26(4), 1990.
6. Kogelnik, H. and Li, T., "Lasers, beams and Ressonators", *Applied optics*, 5, pp. 1550-1567, 1966.
7. Oliveira, L. C. and Zilio, S. C., "Single-Beam Time-Resolved Z-Scan Measurements of Slow Absorbers", *Appl. Phys. Lett.*, 65(17), 1994.
8. Weber, J., Milam, D. and Smith, W. L., "Nonlinear Refractive index of Glasses and Crystals", *Opt. Eng.*, 17, pp. 463-469, 1978.